

## دراسة خواص التدريع ضد أشعة كاما لمتراكب الايبوكسي المدعم بمواد مختلفة

راجحة رشيد محمود\*\*

باسم خلف رجه\*\*  
وجدان ثامر فزع\*\*\*

شفيق شاكر شفيق\*

استلام البحث 7، تموز، 2009  
قبول النشر 3، كانون الاول، 2010

## الخلاصة:

تم في هذا البحث دراسة عامل التراكم لأشعة كاما خلال الدروع المكونة من الايبوكسي المدعم بالرصاص والالمنيوم باستخدام الكاشف الوميضي يوديد الصوديوم المنشط بالثاليوم (Na(Tl)) بحجم (1.5 x 2) ، وباستخدام المصدرين المشعنين السيزيوم-137 والكوبلت-60 ، واستخدمت دروع هي الايبوكسي المدعم بالرصاص % (60-10) والايوكسي المدعم بالالمنيوم وبتركيز من % (50-10) وسمك (6mm) والايوكسي المدعم بمسحوق الرصاص بتركيز (50%) ويسمك (2,4,6,8,10)mm وقد بينت النتائج ما يأتي :  
يزداد معامل الامتصاص الخطي وعامل التراكم مع زيادة التركيز للمساحيق المستخدمة في التدعيم ويكون اعلى لمسحوق الالمنيوم من مسحوق الرصاص ويقل عامل التراكم بزيادة سمك العينات وكذلك يكون اعلى باستخدام مصدر السيزيوم-137 منه باستخدام مصدر الكوبلت-60.

## الكلمات المفتاحية: Buildup factor, Gamma rays, Shields, Epoxy, Powder

## المقدمة :

العددي (B) وهو المحسوب في بحثنا الحالي الذي يمثل النسبة بين عدد الفوتونات الكلية (المستطارة وغير المستطارة) الواصلة الى الكاشف عند نقطة معينة الى عدد الفوتونات غير المستطارة الواصلة عند النقطة نفسها من الكاشف.

عامل التراكم بصورة عامة يعتمد بشكل اساس على ضوابط رئيسية [2] اهمها:

1- طاقة الفوتون E.  
2- التوزيع الزاوي للحزمة الابتدائية (Unscattered Beam) والشكل الهندسي للمصدر.

3- العدد الذري (z) وسمك المادة المستخدمة (x).  
4- موقع كل من العداد (Counter) والمصدر (Source).

5- نوعية استجابة العداد.  
ونظراً لما تقدم فقد قام العديد من الباحثين بدراسة

عامل التراكم ويعد G.R.White عام 1950 [3] اول من قاس عامل التراكم للماء باستخدام مصدر الكوبلت  $^{60}Co$  ولمدى كبير من السمك تراوح بين (46cm – 252.8 cm) باستخدام عداد كايكر وغرفة التأين ، واطهرت النتائج ان العامل المذكور يسلك سلوكاً أسياً بزيادة سمك الماء. وفي عام 1954 نشر كل من H.Goldstein & J.E.Wilkins [4] بحثاً نظرياً باستخدام طريقة العزوم (Moment Method) لحساب عامل تراكم (الجرعة والطاقة والامتصاص) للماء والحديد والالمنيوم والرصاص ولمدى واسع من

عندما تخترق حزمة اشعاعية مقطعة من الجسم فأنها تعاني من عملية توهين (Attenuation) ويتوقف هذا التوهين على سمك وكثافة الوسط، وباقي الحزمة يتجه الى الطرف الأخر، ومن هنا تبرز اهمية عامل التراكم (Buildup Factor) واستخداماته في تدريع الأشعاع اذ يمثل عامل التراكم المعالجة او التصحيح الذي يطرأ على الحزمة غير المستطارة، وقد تكون هذه الحزمة جسيمات او فوتونات تمر خلال الوسط دون ان تعاني من أية تفاعلات مع ذلك الوسط، وبشكل عام فأن مقدار التوهين للوسط سيتناسب أسياً مع شدة الأشعاع [1] على وفق معادلة لاميرت- بيير

$$I_x = I_0 e^{-\mu x}$$

$I_x$ : شدة الحزمة بوجود الدرع و المسدد (الترتيب الهندسي الجيد) .

$I_0$  : شدة الحزمة بوجود المسدد فقط (الترتيب الهندسي الجيد) .

$\mu$ : معامل الامتصاص الخطي ( Linear absorption Coefficient).

ان تأثير الحزمة المستطارة (الأشعة الثانوية) يتخذ مقدارا ثابتاً يمثل عامل

مضاعفة (Multiplication Factor) يستخدم لتصحيح معالجة تأثير استطارة الحزمة النافذة في المادة. هنالك عدة انواع من عامل التراكم منها على سبيل المثال عامل تراكم ( الطاقة والطاقة الممتصة ومعدل الجرعة) فضلاً عن عامل التراكم

\*جامعة بغداد كلية العلوم - قسم الفيزياء

\*\*جامعة بغداد-كلية العلوم للبنات - قسم الفيزياء

\*\*\*جامعة النهرين-كلية العلوم

عشرينيات القرن الماضي مستعرضين تكنولوجيا تدرّيع الاشعاع المؤين، واشعة كاما والنيوترونات، اما الجزء الثاني فقد كان موجهاً نحو اساسيات طرائق تدرّيع الاشعاع وتضمن مراجعة علمية لموضوع عامل التراكم و التطور الحاصل في الحسابات مع التأكيد على وصف مصادر الاشعاع ومجالاته ونفوذه داخل المادة والتحويلات الحاصلة في شدته الى الجرعات الاشعاعية Doses التي هي ذات معنى مهم في تقييم الخطر الاشعاعي.

2006 N.J.B.Fatohi [13] درس عامل التراكم العددي لمصدرَي Co-60 و Cs-137 باستخدام الكاشف الوميضي لمسحوق مادتيّ اسود الكربون والكرافيت العراقيين بعد خلطهما مع مادة رابطة (الايوكسي)، عند الطاقة 1.25 Mev يعتمد عامل التراكم على نسبة الخلط والكثافة الظاهرية ونوع المادة ولوحظ نقصان عامل التراكم بزيادة نسبة الخلط والكثافة الظاهرية وتكون قيم عامل التراكم لاسود الكربون اعلى مما هي عليه للكرافيت. اما عند الطاقة 0.662 Mev فإن هناك تأثيراً طفيفاً للسمك ولا تأثير لنسب الخلط والكثافة ونوع المادة كما ان عامل التراكم يقل بزيادة طاقة المصدر المشع.

كما قام S. Dasharatham في العام نفسه [14] بدراسة خواص التدرّيع للمواد المترابطة ضد اشعة كاما والنيوترونات إذ استخدم الرصاص وبعض مركباته والبورون وبعض مركباته والليثيوم وبعض مركباته والزجاج المدعم بالرصاص بنسب وزنية 20% ، 30% ، 40% ، 50% ، وكذلك استخدم عدة مواد مخلوطة بنسب وزنية مختلفة وصنفها اعتماداً على حجم حبيباتها ، وتوصل الى ان تقنيات تدرّيع اشعة كاما والنيوترونات التي تستخدم فيها مخاليط من مواد مترابطة متعددة المركبات التي تكون متوازنة فيما بينها لان قسماً منها يأسر اشعة كاما والاخر يُضعف النيوترونات مما يعطي نتائج افضل من تلك التي تستخدم فيها مخاليط من مواد مترابطة تحوي مركباً واحداً.

وفي العام نفسه ايضاً قام F.E.ALtaey et al [15] بدراسة عامل التراكم لمواد الحديد والكونكريت و P.V.C وبتشكيلات مختلفة ولدروع منفردة وبسمك مختلف باستخدام منظومة Cassy وكاشف أبايد الصوديوم المنشط بالثاليوم وتوصلوا الى ان عامل التراكم يقل بزيادة العدد الذري والطاقة ويزداد بزيادة السمك.

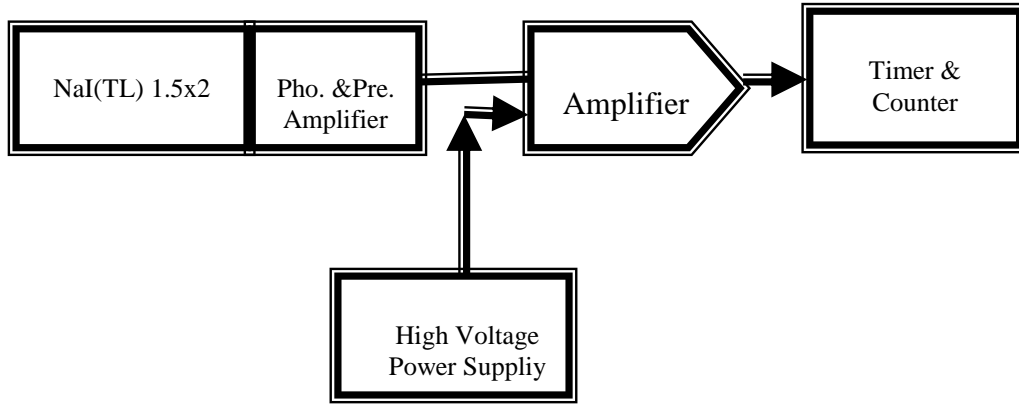
#### الترتيبات العملية:

1. منظومة العد الخاصة بأشعة كاما :  
تتكون منظومة العد الالكترونية من الاجزاء الاتية  
كما في الشكل (1) :

الطاقات، فاصبح مرجعاً مهماً للعديد من الدراسات النظرية.. قدّم كل من 1967 Tamura & Tsuruo [5]، بحثاً استخدم فيه مصدر  $^{137}\text{Cs}$  المستوي العمودي (Plane Normal) وكاشف غرفة التآين لقياس عامل تراكم الجرعة للكرافيت ولسمك تراوح بين (1-6) m.f.p وتوصلا الى ان عامل تراكم الجرعة يزداد بزيادة سمك الدرّج المستخدم .. نشر Honodorp [6] 1983 دراسة استخدم فيها اوكسيد السيليكون ذا القوام اللزج بنسبة ( 95% - 97% ) بعد خلط حبيبات من سيليكات الصوديوم فيه بنسبة ( 5% - 3% ) وحصل على مادة مترابطة ذات خواص جيدة لتدرّيع اشعة كاما والنيوترونات إذ ان عامل التراكم يقل بزيادة التركيز.. L.A.A.AL-Ani [7] 1989 قام بقياس عامل التراكم للحديد، والنحاس، والالمنيوم، والكونكريت لمصدرَي  $^{60}\text{Co}$  و  $^{137}\text{Cs}$ ، كما أخذ بعين الاهمية العامل الهندسي وتأثيره في قيم عامل التراكم، وظهرت النتائج توافقاً بين عدادَي كايكر والوميضي ضمن التراوح الاحصائي الا أنّ التراوح الاحصائي كان كبيراً لعدد كايكر مما جعل الكاشف الوميضي اكثر دقة.

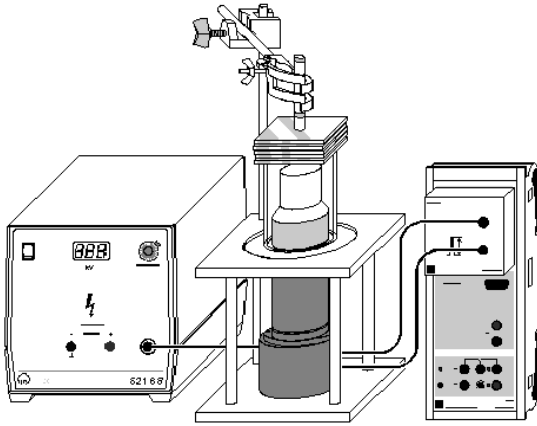
1991Sisson [8] نشر بحثاً بيّن فيه امكانية استخدام شيت تغليف مكون من الرصاص المملوء بالبلاستيك من احد جوانبه ، والوجه الاخر من مادة مقاومة للحرارة للتدرّيع ضد الاشعة والنيوترونات وظهرت النتائج نقصان عامل التراكم بزيادة تركيز البلاستيك

ونشر L. Stover [9] 1999 دراسة استبدل فيها الرصاص في الدرّج المستخدمة ضد اشعة كاما في الاجهزة الطبية بمواد مثل الحديد ، و الفولاذ ، والتكستن وكذلك بمواد بوليمرية مترابطة مع البلاستيك الحراري او مع التكستن او مع مواد اقل سمية من الرصاص وتوصل الى نتائج مقارنة للرصاص. ان هذه المواد المترابطة توهن اشعة كاما بنحو 90% من توهين الرصاص لاشعة كاما لمصدر Co-60 بطاقتيه، بكثافة تعادل 62% من كثافة الرصاص. كما بيّن Keith et al 2005 [10] ان اليورانيوم المنضب المحشو في مادة البولي اثيلين بنسب 70% ، 80% ، 90% يعطي دروعاً مناسبة ضد اشعة كاما والنيوترونات ووجدوا ان عامل التراكم يقل بزيادة نسبة تركيز اليورانيوم. K.O.M.AL-Baiti 2001 [11] قام بدراسة عامل التراكم لاشعة كاما للدرّج المنفردة والمتعددة الطبقات لمواد الالمنيوم والحديد والنحاس والرصاص بسمك مختلف مستخدماً مصدرَي  $^{60}\text{Co}$  و  $^{137}\text{Cs}$  ووجد ان عامل التراكم يزداد بزيادة السمك. J.Knneth & Richard E.Faw 2005 [12] قدما مراجعة علمية واسعة بجزأين الاول امتد من مطلع



شكل (1) منظومة العد الالكترونية المستخدمة في البحث.

النبضة والتضخيم الرئيس وزمن التجميع اذ كان (300sec) وعدد القنوات المستخدمة هو (2048) قناة) كما في الشكل (2).



شكل (2) منظومة Cassy

### 2- الترتيب الهندسي:

لدراسة عامل التراكم للدروع المنتجة فيما يخص اشعة كما فقد تم استخدام مسددين من الرصاص للحصول على الترتيب الهندسي الجيد ( Good Geometry Bad ) التي برفعها ( المسدات ) نحصل على الترتيب الهندسي الرديء ( Geometry Bad ). إن المسدات المستخدمة مصنوعة من مادة الرصاص وبابعاد (10x10x5)cm تتوسطها فتحة دائرية قطرها 8.5mm للحصول على الحزمة المسددة (Collimated beam).

### 3- المصادر المشعة:

في هذا البحث استخدم نوعان من المصادر المتوافرة هما :-

- 1- السيزيوم -137 بفعالية اشعاعية  $\mu\text{ci}$  100 الذي يبعث فوتونات بطاقة (0.662) Mev .
- 2- الكوبلت -60 بفعالية اشعاعية  $\mu\text{ci}$  الذي يبعث اشعة كما بطاقتين (1.173,1.33) Mev.

1-1. الكاشف الوميضي من نوع ( SAINT- ) ويتكون من المادة الوميضية إذ تستعمل في اغلب الاحيان بلورة ايوديد الصوديوم المنشط بالثاليوم NaI(Tl) بحجم "1.5" × "2" ( ) للكشف عن اشعة كما ، وهي من المواد الوميضية غير العضوية تبلغ كثافتها (  $3.76 \text{ gm}/\text{Cm}^3$  ) لذلك فهي ذات كفاءة عد عالية للكشف عن اشعة كما اما المضاعف الضوئي الذي يتكون من انبوبة زجاجية مفرغة من الهواء في مقدمتها كاثود ضوئي و14 داينود متتالية موزعة داخل الانبوبة.

### 2-1. جهاز القدرة العالية

HOCHSPANNUNGS-NETZGERAT يعمل على تزويد قاعدة المضاعف الضوئي بالفولتية المناسبة للكشف عن الاشعاع وتفاعلاته مع اجزاء الكاشف، ويجهز هذا النوع من مجهزات القدرة فولتية من الصفر الى 1500 فولت .

3-1. قاعدة المضاعف الضوئي والمضخم الابتدائي (LD Didactic GmbH) وظيفه قاعدة المضاعف الضوئي تجزئة الفولتية المجزة من جهاز القدرة العالية الى الداينودات بشكل متساوي اما المضخم الابتدائي فيستخدم لتكبير النبضات والتقليل من الضوضاء.

4-1. المحلل متعدد القنوات Multichannel Analyzer تتطلب بعض القياسات اجراء تجميع كامل للطيف وفي ان واحد بدلاً من قياسه بعدة خطوات كما هو الحال في المحلل احادي القناة. إن النبضات الناتجة من المضخم تتحول الى القنوات الملائمة لسعتها بوساطة المحول الخطي - المنطقي ، وتُخزّن في الذاكرة لتكوّن التوزيع الاحصائي للنبضات أو الطيف ، وهو يعمل ضمن برنامج التعريف الذي يسمى الكايسي موبايل (Mobil Cassy) والذي يقوم بربط الكاشف على الحاسبة ومن خلال هذا البرنامج يمكننا التحكم بزمن تشكيل

### النتائج والمناقشة:

تم قياس عامل التراكم باستخدام الترتيب الهندسي للحزمة الضيقة والترتيب الهندسي للحزمة العريضة للدروع المستخدمة.

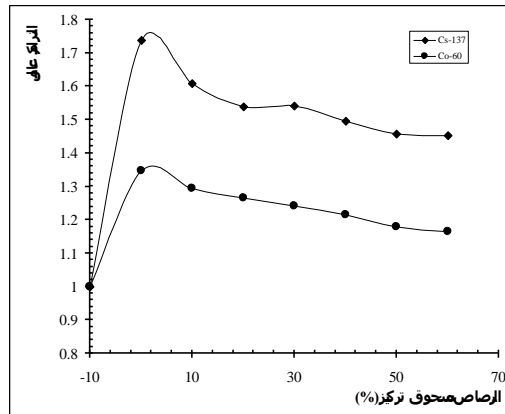
الشكل (5) يوضح العلاقة بين عامل التراكم وتركيز مسحوق الرصاص المضاف الى بوليمر الايبوكسي وباستخدام المصدرين المشعنين (السيزيوم-137 والكوبلت-60). ان قيم عامل التراكم تتخفف بزيادة تركيز المسحوق المضاف وهذا يعود الى زيادة احتمالية حدوث استطرارة كومبتن على حساب الظاهرة الكهروضوئية مما يؤدي الى زيادة الحزمة المتفاعلة.

اما الشكل (6) فيوضح العلاقة السابقة نفسها ولكن لتركيز مسحوق الالمنيوم المضاف الى بوليمر الايبوكسي. ان تصرف عامل التراكم هذا يعزى الى هيمنة استطرارة كومبتن على حساب الظاهرة الكهروضوئية.

نجد من الشكلين (5 و 6) ان عامل التراكم يقل بزيادة التركيز باستخدام المصدرين المشعنين وهذا موافق للبحوث العملية المنشورة [15,7,5].

بينما الشكل (7) يوضح العلاقة بين عامل التراكم وسمك عينات الايبوكسي المدعم بالرصاص اذ ان عامل التراكم يزداد بزيادة السمك وللمصدرين المشعنين ويعزى الى هيمنة استطرارة كومبتن على حساب الظاهرة الكهروضوئية ايضاً وهذا يتوافق مع البحوث العملية [15,11].

ومن ملاحظة الاشكال (5 و 6 و 7) ايضاً نجد ان عامل التراكم يقل بزيادة الطاقة لأن استطرارة كومبتن تكون مهيمنة على التفاعل.



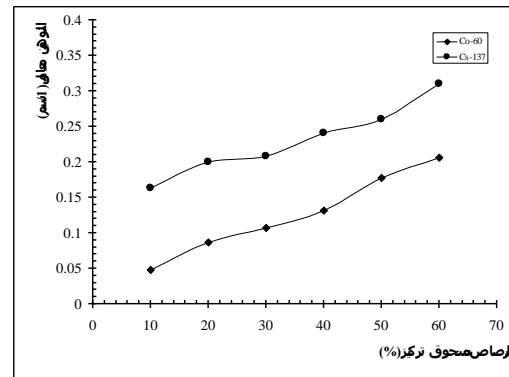
شكل (5) عامل التراكم دالة لنسب خلط الرصاص مع الايبوكسي.

### 4- المواد المستخدمة:

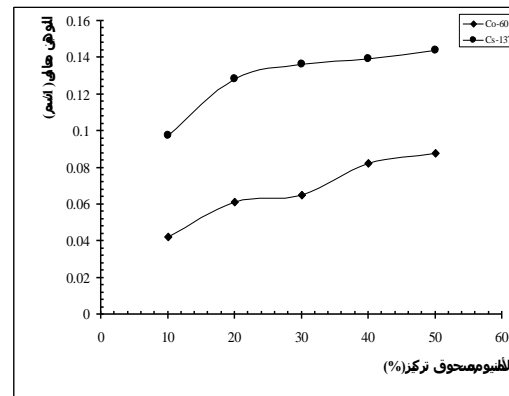
استخدمت في هذا البحث دروع مبينة مواصفاتها في الجدول (1) مكونة من الايبوكسي المدعم بمسحوق الرصاص وكذلك مسحوق الالمنيوم وبنسب خلط % (10-60) لمسحوق الرصاص ومن % (10-50) لمسحوق الالمنيوم. وبيّن الشكل (3) العلاقة بين معامل التوهين ( $\mu$ ) وبنسب خلط مسحوق الرصاص مع الايبوكسي ولمصدري السيزيوم-137 والكوبلت-60. والشكل (4) يوضح العلاقة بين معامل التوهين وبنسب خلط مسحوق الالمنيوم ولمصدري السيزيوم-137 والكوبلت-60 ايضاً، اذ نلاحظ زيادة معامل التوهين بزيادة تركيز المسحوق المضاف.

جدول (1) يوضح الحجم الحبيبي للمواد المستخدمة

ت	المادة	الشركة المصنعة	الحجم الحبيبي ( $\mu\text{m}$ )
1	الايوكسي	Sanyicad, Kaynarcal / Istanbul - Turkey	سائل
2	الرصاص	BDH Chemicals LTD Pool England	60
3	الالمنيوم	BDH Chemicals LTD Pool England	80

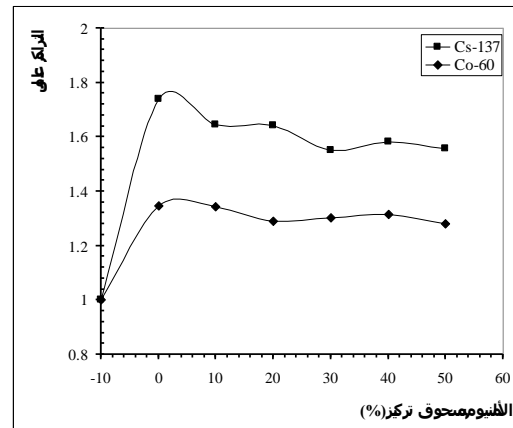


شكل (3) يوضح معامل التوهين بوصفه دالة لتركيز مسحوق الرصاص.

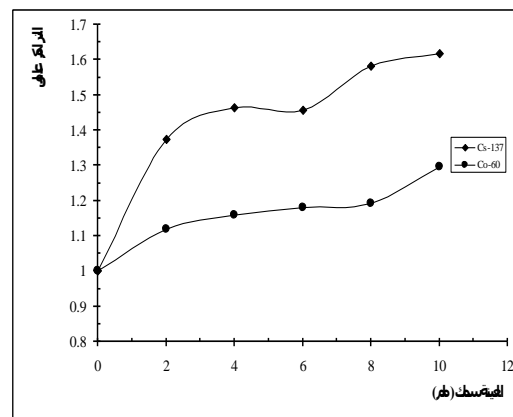


شكل (4) يوضح معامل التوهين بوصفه دالة لتركيز مسحوق الالمنيوم.

4. Goldstein, H. and Wilkins, J.E. 1954. Calculation of the Penetration of Gamma-Rays. Nuclear Development Associates Inc. Washington, U.S.A Report Nyo-3075.
5. Tamura, K. and Tsuru, A. 1967. Engineering Compendium on Radiation Shielding Nucl. Sci. Eng. 28(2):210-226.
6. Honodorp, H. 1983. Radiation Shielding of New Composite Materials. Nucl. Sci. Eng; 45 (2): 122-125.
7. Al-Ani, L. A Study of Gamma-Ray Buildup Factor in Different Materials 1989. M.Sc. Thesis, Collage of Science, Baghdad University.
8. Sisson, J. Fred, U. 1991. Radiation Shield. Patent, USA.250/519.1.
9. Stover, L. Franksh, J. 1999. New Polymer-Metal Composites Provide Radiation Shielding, Lead Replacement for Medical Devices. M.A.HANNA Eng. Mat. 89(1): 299-306.
10. Al-Baiti, K. Measurement and Calculation of Gamma-Ray Buildup Factor in Single and Multilayer Shields 2001. M.Sc. Thesis, Collage of Science, University of Babylon.
11. Rule, K. Kalb, P. and Kwaschyn, N. 2003. Packaging and Disposal of a Radium-Beryllium Source Using a Depleted Uranium Polyethylene Composite Shielding Container. Nucl. Inst. Meth 114(2):259- 265.
12. Kneth, J. and Faw; R. 2005. Effects of Boundaries and in Homogeneities on the Penetration of Gamma Radiation. Health.Phys.Soci; 88(1): 298-304.
13. Fatohi, N. Study Gamma-Ray Buildup Factor for Black Carbon and Graphite 2006 M.Sc.Thesis, University. of Technology.
14. Dasharatham, S. 2007 Composite materials and techniques for neutron and gamma radiation shielding. Patent, USA. 11/121, 852.



شكل (6) عامل التراكم دالة لنسب خلط الالمنيوم مع الايبوكسي.



شكل (7) عامل التراكم دالة لسمك عينات الايبوكسي المدعم بالرصاص.

#### الاستنتاج:

- 1- يقل عامل التراكم بزيادة تركيز المسحوق المدعم للايبوكسي.
- 2- يزداد عامل التراكم بزيادة سمك الدرع المستخدم.
- 3- يقل عامل التراكم بزيادة طاقة المصدر المشع للمواد المستخدمة.

#### المصادر:

1. Tsoulfnidis, N. 1983 .Measurements and Detection of Radiation. McGraw-Hill Company, 2<sup>nd</sup> ed. p.298.
2. AL-Dargazelli S.S. 1987. Detection of Nuclear Radiation. Printer of Bagdad University, Iraq, 76-112.
3. White G.R. 1950. The Penetration and Diffusion of Co<sup>60</sup> Gamma-Rays in Water Using Spherical Geometry. Phys. Rev, 80(2): 154-156.

جامعة كربلاء العلمية 5(3): 34-47.  
(P.V.C)

15. الطائي فاضل ، الدهان نورس. 2007  
دراسة عامـل التراكم لمواد الحديد  
والكونكريت و البلاستك بتشكيلات مختلفة. مجلة

## Study the Shielding Properties against Gamma-rays for Epoxy Resin Reinforced by Different materials

*Shafik S. Shafik\**

*Basim K. Rejah\*\**

*Rajiha R. Mahmood\*\**

*Wijdan T. Fazaa\*\*\**

\*Baghdad University, College of Sciences.

\*\* Baghdad University, College of Sciences, for Women.

\*\*\*AL-Nahrain University, College of Sciences.

### Abstract:

In the present work the Buildup factor for gamma rays were studied in shields from epoxy reinforced by lead powder and by aluminum powder, for NaI(Tl) scintillation detector size ( $2'' \times 1.5''$ ), using two radioactive sources (Co-60 and Cs-137). The shields which are used (epoxy reinforced by lead powder with concentration (10-60)% and epoxy reinforced by aluminum powder with concentration (10-50)% by thick (6mm) and epoxy reinforced by lead powder with concentration (50%) with thick (2,4,6,8,10)mm. The experimental results show that: The linear absorption factor and Buildup factor increase with increase the concentration for the powders which used in reinforcement and high for aluminum powder than the lead powder and decrease with increase thick the shields. It's for Cs-137 higher than Co-60 source.